

بِسْمِ اللّٰهِ الرَّحْمٰنِ الرَّحِيْمِ



دانشکده شیمی
گروه شیمی-فیزیک

پایان نامه جهت اخذ درجه کارشناسی ارشد رشته‌ی شیمی
گرایش شیمی-فیزیک

عنوان پایان نامه

تهیه و شناسایی نانو کاتالیست های $\text{CaO/SiO}_2\text{-TiO}_2$ برای تبدیل روغن های بازیافتی به بیودیزل

استاد راهنما:

دکتر مصطفی فیضی

نگارش:

اسماعیل شهبازی

1391 ماه اسفند

کلیه حقوق مترتب برنتایج مطالعات، ابتکارات و
نوآوری‌های ناشی از تحقیق موضوع این پایان نامه
متعلق به دانشگاه رازی است.

تقدیم به خانواده‌ی عزیزم،

تقدیم به مادرم که از صبرش ایستادگی را آموختم؛

تقدیم به پدرم از نگاهش صلابت را آموختم؛

تقدیم به خواهرانم که از رفتارشان محبت را آموختم.

وقتی با ختم "مسیر" را یافتم!

د بزرگراه زندگی، همواره "راست" راحت نخواهد بود.

هر حاله ای "چاره ای" به من آموخت. "بکوش" و نایمیدی را بگش...

برای جلوگیری از "پس رفت" پس، باید "رفت" ...

بدینویله از زحات آقای دکتر فیضی استاد راهنمایی گرای تقدیرم که در راهنمایی و فرامم نمودن امکانات لازم از هیچ تلاشی فروگذار
کنکرد. مدخل سکردادارم.

از کلیه اعضاي آزمایشگاه تحقیقاتی شیی فنریک دانشکده می شمی دانشگاه رازی از خواهران عزیزم گلاره خواجهی، مرضیه زارع، لیلا
نوروزی و فائزه جعفری بپاس همکاری وزحاتشان صمیمانه قدردانی می کنم.

وبرای همه این عزیزان، موفقیت و طول عمر را از خداوند منان خواستارم.

بهچنین از سرکار خانم فاطمه علیپور به حافظ حایتهاي بي دين و زحات بي شائب ايشان کمال سکردادارم.

چکیده:

در این کار تحقیقاتی، به بررسی واکنش تبادل استری روغن گیاهی مخلوط تصفیه شده بوسیله نانوکاتالیست $\text{CaO}/\text{SiO}_2\text{-TiO}_2$ که به روش سل-ژل تهیه شده، پرداخته شده است. پارامترهای مورد بررسی در این تحقیق نسبت وزنی کاتالیست به ساپورت $\text{SiO}_2\text{-TiO}_2$ ، دمای کلسیناسیون، زمان کلسیناسیون و نسبت وزنی فلز دوم به عنوان تقویت کننده برای تهیه نانو کاتالیست می‌باشند. شرایط بهینه برای کلسیناسیون نانوکاتالیست در دمای 65°C و زمان ۶ ساعت و نسبت وزنی کاتالیست به ساپورت $\text{SiO}_2\text{-TiO}_2$ برابر $90\text{wt}\%$ و نسبت وزنی فلز دوم به فاز فعال برابر $5\text{wt}\% / 90\text{wt}\%$ بدست آمد. نتایج نشان می‌دهند که درصد تبدیل مربوط به $90\text{wt}\% \text{ CaO}/\text{SiO}_2\text{-TiO}_2$ باز با 99.9% و بازده آن 99.9% می‌باشد. اما نانوکاتالیست ارتقا یافته حاوی نمک CsBr باعث افزایش درصد تبدیل بیودیزل گردید که این مورد مربوط به نانوکاتالیست $90\text{wt}\% \text{ Cs-}90\text{wt}\% \text{ CaO}/\text{SiO}_2\text{-TiO}_2$ با درصد تبدیل 99.9% و بازدهی 99.9% می‌باشد. همچنین کاتالیست‌ها از نظر قدرت بازی و سطح ویژه و شاعع متوسط حفرات براساس میزان تبدیل تری‌گلیسرید با یکدیگر مقایسه شده و همه خواصی که می‌توانند روی فعالیت، راندمان، انتخاب پذیری و زمان سرویس دهی (طول عمر) کاتالیست تأثیر بگذارند مورد بررسی قرار گرفته‌اند. درنهایت کاتالیست‌های تهیه شده توسط روش‌های دستگاهی نظیر: SEM، XRD، BET و FT-IR مورد شناسایی قرار می‌گیرند. همچنین دمای واکنش، زمان واکنش، نسبت وزنی مтанول به روغن و درصد وزنی متفاوت از کاتالیست نسبت به روغن اولیه به عنوان متغیر برای واکنش ترانساستریفیکاسیون مورد ارزیابی قرار گرفتند. واکنش ترانساستریفیکاسیون در شرایط متفاوت از متغیرها انجام گردید بعد از واکنش نمونه‌ها سانترفیوژ و سپس آبشویی گردیدند و در پایان به وسیله دستگاه‌های رفراکتومتری و ویسکوزیته سنجی و دانسیومتری مورد بررسی و با هم مقایسه شدند که دمای 60°C زمان ۲ ساعت، نسبت وزنی مtanول به روغن $1:12$ و درصد وزنی کاتالیست نسبت به روغن اولیه به عنوان پارامترهای بهینه بدست آمد. سپس نمونه بهینه بدست آمده به وسیله دستگاه GC-Mass آنالیز گردید که تطابق بسیار خوبی با روش‌های دستگاهی نامبرده برای این فرآیند را از خود نشان می‌دهد.

واژه‌های کلیدی: نانوکاتالیست، بیودیزل، ترانساستریفیکاسیون، متیل استر اسید چرب، آبشویی

فهرست مطالب

صفحه	عنوان
	فصل اول
۲	۱-۱- تعریف بیودیزل و واکنش ترانس استریفیکاسیون
۳	۲- تاریخچه بیودیزل
۴	۳- مزایا و معایب بیودیزل
۶	۴- تولید بیودیزل از روغن های پسمانده خوارکی
۷	۵- خواص فیزیکی و شیمیایی روغن های گیاهی
۸	۶- روش های سنتز بیودیزل
۸	۱-۶- روش اختلاط مستقیم
۹	۲-۶- روش میکروامولسیون
۹	۳-۶- روش ترانس استریفیکاسیون
۱۰	۷- پارامترهای مؤثر بر میزان تبدیل واکنش ترانس استریفیکاسیون
۱۱	۱-۷-۱- نوع کاتالیست
۱۱	۲-۷-۱- مقدار کاتالیست
۱۱	۳-۷-۱- نوع روغن
۱۱	۴-۷-۱- زمان واکنش
۱۱	۵-۷-۱- دمای واکنش
۱۲	۶-۷-۱- نسبت مولاری الكل به روغن
۱۲	۷-۷-۱- شدت اختلاط (سرعت بهم خوردن)
۱۲	۸-۷-۱- حضور اسید چرب آزاد و رطوبت
۱۳	۹-۷-۱- استفاده از کمک حللهای آلی (سورفکtant)
۱۳	۸-۸- روش های آنالیز متیل استر
۱۴	۹-۱- کاتالیست های واکنش ترانس استریفیکاسیون
۱۴	۱-۹-۱- کاتالیست اسیدی
۱۵	۲-۹-۱- کاتالیست بازی
۱۵	۳-۹-۱- کاتالیست آنزیمی
۱۶	۴-۹-۱- کاتالیست های هتروژن

۱۶.....	۱-۹-۵- زئولیت ها
۱۷.....	۱-۹-۶- هتروپلی اسیدها
۱۷.....	۱-۹-۷- کاتالیست های جامد بازی
۱۸.....	۱-۹-۸- زئولیت های بازی
۱۹.....	۱-۱۱-۹- هیدرو تالسیت ها
۱۹.....	۱-۹-۱۰- اکسید فلزات قلیایی
۲۰.....	۱-۱۱-۹- نمک فلزات قلیایی روی پایه متخالخ
۲۰.....	۱-۹-۱۲- رزین های تبادل یونی به عنوان کاتالیست هتروژنی
۲۱.....	۱-۱۰- مطالعات انجام شده
۲۵.....	۱-۱۱- اهداف پایان نامه

فصل دوم

۲۸.....	۲-۱- تعریف نانو تکنولوژی
۲۹.....	۲-۲- ساخت و تولید در مقیاس نانو
۳۰.....	۲-۳- روش های ساخت نانوذرات
۳۱.....	۲-۴- تعریف کاتالیست
۳۲.....	۲-۵- مشخصات اصلی واکنش های کاتالیستی
۳۳.....	۲-۵-۱- عوامل موثر بر غیر فعال شدن کاتالیست
۳۳.....	۲-۶- ساخت کاتالیست های ناهمگن
۳۴.....	۲-۷- اجزاء مهم کاتالیست
۳۴.....	۲-۷-۱- فاز فعال
۳۴.....	۲-۷-۲- پرومومتر یا ارتقا دهنده
۳۴.....	۲-۷-۳- پایه
۳۵.....	۲-۸- برتری نانو کاتالیست ها نسبت به کاتالیست های سنتی
۳۶.....	۲-۹- روش های شناسایی مواد
۳۶.....	۲-۱۰- آشنایی با تجهیزات اندازه گیری
۳۷.....	۲-۱۰-۱- آشنایی با تجهیزات آزمایشگاهی فناوری نانو
۳۸.....	۲-۱۰-۲- اندازه گیری مساحت ویژه (BET)

۳۸	-۱۰-۲- اهمیت تعیین مساحت سطح
۳۹	-۴- طیف سنجی تبدیل فوریه مادون قرمز (FTIR)
۴۰	-۵- میکروسکوپ الکترونی روبشی (SEM)
۴۱	-۶- میکروسکوپ عبور الکترونی (TEM)
۴۲	-۷- طیف سنج پراش اشعه ایکس (XRD)
۴۵	-۸- کروماتوگرافی گازی (GC)
۴۶	-۹- طیف سنجی جرمی (MS)
۴۷	-۱۰- روش GC- MS
۴۸	-۱۱- روشهای متداول سنتز نانوذرات
۴۸	-۱-۱۱- روش مکانوشیمیایی
۴۸	-۲-۱۱- روش پلاسمای حرارتی با فرکانس رادیویی
۴۸	-۳-۱۱- روش چگالش از بخار شیمیایی
۴۹	-۴-۱۱- روش میکرواختلاط
۴۹	-۵-۱۱- روش تلقیح
۵۰	-۱-۵-۱۱- مزایای روش تلقیح به روش رسوبی
۵۰	-۶-۱۱- روش سل- ژل
۵۱	-۷-۱۱- ساخت کاتالیست به روش هم رسوبی
۵۱	-۸-۱۱- روش رسوبی
۵۲	-۹-۱۱- روش هیدروترمال

فصل سوم

۵۴	-۱-۳- انتخاب مواد مختلف در تولید بیودیزل
۵۴	-۱-۱-۳- انتخاب منبع گیاهی
۵۴	-۱-۲-۳- انتخاب نوع الكل
۵۴	-۱-۳-۳- انتخاب نوع کاتالیست
۵۴	-۲-۳- سایر پارامترهای سینتیکی و ترمودینامیکی
۵۴	-۱-۲-۳- نسبت مولاری الكل به روغن
۵۵	-۲-۲-۳- دما

۵۵	۳-۲-۳- غلظت کاتالیست
۵۵	۳-۳- مواد و تجهیزات مورد استفاده
۵۷	۴-۳- کاتالیست های مورد استفاده در این تحقیق
۵۷	۳-۵- روش سنتز نانو کاتالسیت به روش سل-ژل
۵۸	۳-۱- فرآیند خشک کردن
۵۸	۳-۲- فرآیند کلسیناسیون
۵۹	۳-۶- روش سنتز ساپورت $\text{SiO}_2\text{-TiO}_2$ با نسبت $۵۰ : ۵۰$
۵۹	۳-۷- روش سنتز نانو کاتالسیت $\text{CaO/SiO}_2\text{-TiO}_2$
۶۰	۳-۸- روش سنتز نانو کاتالسیت $\text{Cs 0.5\% -Ca 90\% /SiO}_2\text{- TiO}_2$
۶۰	۳-۹- تعیین عدد اسیدی و عدد صابونی
۶۱	۳-۹-۱- اندیس صابونی
۶۱	۳-۹-۲- روش تست اندیس صابونی
۶۳	۳-۹-۳- منابع خطا در این آزمایش
۶۴	۳-۹-۴- اندیس اسیدی
۶۴	۳-۹-۵- روش تست اندیس اسیدی
۶۵	۳-۹-۶- منابع خطا در این آزمایش
۶۶	۳-۱۰- روند کلی انجام آزمایشات برای تهیه نمونه بیودیزل

فصل چهارم

۶۹	۱-۱-۴- بحث و نتیجه گیری
۶۹	۲-۴- تعیین مشخصات بیودیزل
۷۰	۳-۴- استانداردهای شناسایی بیودیزل
۷۰	۴-۳-۱- عدد ستان
۷۱	۴-۳-۲- نقطه فلاش
۷۱	۴-۳-۳- نقطه ریزش
۷۱	۴-۳-۴- نقطه ابری شدن
۷۲	۴-۳-۵- ارزش اسیدی
۷۲	۴-۳-۶- ویسکوزیته

۷۲	۴-۳-۷- دانسته
۷۲	۴-۳-۸- خاکستر سولفاته
۷۳	۴-۳-۹- سولفور
۷۳	۴-۳-۱۰- خوردگی مس
۷۳	۴-۳-۱۱- باقیمانده کربنی
۷۳	۴-۳-۱۲- گلیسیرین آزاد
۷۳	۴-۳-۱۳- کل محتوای گلیسیرین
۷۴	۴-۳-۱۴- محتوای فسفر
۷۴	۴-۳-۱۵- آب
۷۴	۴-۳-۱۶- پایداری اکسایشی
۷۵	۴-۳-۱۷- محتوای استری، تری گلیسیرید، مونو و دی گلیسیرید
۷۵	۴-۳-۱۸- ارزش یدی
۷۶	۴-۴- آماده سازی مخلوط کاتالیست و متانول و شرایط آزمایش
۷۷	۴-۵- روش های آنالیز متیل استر
۷۷	۴-۵-۱- تعیین میزان ضریب شکست نمونه بیودیزل
۷۸	۴-۵-۲- تعیین میزان ویسکوزیته نمونه بیودیزل
۷۸	۴-۵-۳- تعیین میزان درصد تبدیل نمونه بیودیزل بوسیله GC-MS
۷۹	۴-۶- بررسی اثر متغیرها و شرایط عملیاتی جهت فرآیند تولید بیودیزل
۷۹	۴-۶-۱- بررسی اثر نسبت وزنی کاتالیست به ساپورت
۸۱	۴-۶-۲- بررسی اثر نسبت های وزنی تقویت کننده به کاتالیست
۸۴	۴-۶-۳- بررسی اثر دمای کلسیناسیون
۸۶	۴-۶-۴- بررسی اثر زمان کلسیناسیون
۸۸	۴-۶-۵- بررسی اثر دما بر واکنش تولید بیودیزل
۹۰	۴-۶-۶- بررسی اثر زمان واکنش تولید بیودیزل
۹۲	۴-۶-۷- بررسی اثر نسبت مولار الکل به روغن
۹۳	۴-۶-۸- بررسی اثر درصد وزنی کاتالیست در فرآیند تولید بیودیزل
۹۵	۴-۶-۹- طیف سنجی تبدیل فوریه مادون قرمز (FT-IR)
۹۷	۴-۶-۱۰- پراش اشعه X (XRD)

۹۹ تصاویر میکروسکوپ الکترونی SEM	۴-۶-۱۱
۱۰۱ اندازه گیری مساحت ویژه، حجم ویژه حفره ها و قطر حفره های کاتالیست	۴-۶-۱۲
۱۰۴ نتیجه گیری نهایی	۴-۷

فصل پنجم

۱۰۶ ۱-۵ - جمع بندی
۱۰۷ ۲-۵ - پیشنهادات
۱۰۸ فهرست منابع

فهرست اشکال

صفحه	عنوان
۲	شكل ۱-۱- تخمین به پایان رسیدن سوخت‌های فسیلی جهان وزارت اطلاعات و انرژی آمریکا
۹	شكل ۱-۲- معادله کلی ترانس استری شدن تری گلیسریدها
۱۰	شكل ۱-۳- حضور آب در واکنش ترانس استری شدن
۱۴	شكل ۱-۴- (الف) واکنش کاتالیست بازی با اسید چرب آزاد و تولید صابون و آب (هر دو محصول نامطلوب) (ب) آب موجب پیشرفت تشکیل اسید چرب آزاد می‌شود، اینکارسبب غیر فعال شدن کاتالیست و تشکیل صابون مانند قسمت الف می‌شود
۴۰	شكل ۱-۵- تصویر دستگاه طیف سنجی تبدیل فوریه مادون قرمز (FT-IR BRUKER , ALPHA)
۴۱	شكل ۲-۱- تصویر دستگاه میکروسکوپ الکترونی روبشی (SEM)
۴۳	شكل ۲-۲- تصویر دستگاه طیف سنج پراش اشعه ایکس (XRD inel, Model: EQUINOX3000)
۴۵	شكل ۲-۳- نحوه تعیین پهنه‌ای پیک در نصف ارتفاع در الگوی XRD
۴۸	شكل ۲-۴- تصویر دستگاه کروماتوگراف گازی - طیف سنج جرمی، (GC-Mass Agilent 6890N/5973N)
۶۳	شكل ۳-۱- شمایی از راکتور ساخته شده برای روش تست اندیس صابونی
۶۶	شكل ۳-۲- شمایی از دستگاه ساخته شده برای تولید بیو دیزل با کاتالیست ناهمگن
۶۷	شكل ۳-۳- جداسازی فاز آبی و متیل استر
۶۷	شكل ۳-۴- تشکیل امولوسیون و دشواری در جداسازی
۷۶	شكل ۴-۱- شمایی از راکتور ساخته شده برای تولید بیو دیزل
۷۹	شكل ۴-۲- طیف GC-MS نمونه بیودیزل بهینه سنتر شده توسط نانوکاتالیست Cs- CaO/ SiO ₂ -TiO ₂ بوسیله فرآیند ترانس استریفیکاسیون
۸۰	شكل ۴-۳- تغییرات نسبت وزنی کاتالیست به ساپورت بر میزان ضریب شکست نمونه بیودیزل
۸۱	شكل ۴-۴- تغییرات نسبت وزنی کاتالیست به ساپورت بر میزان ویسکوزیته نمونه بیودیزل
۸۱	شكل ۴-۵- نمودار اثر نسبت وزنی کاتالیست به ساپورت در سنتر نانوکاتالیست Ca/TiO ₂ -SiO ₂ برای تولید بیودیزل از واکنش ترانس استریفیکاسیون
۸۲	شكل ۴-۶- تغییرات درصد وزنی تقویت کننده نسبت به فاز فعال نانوکاتالیست بر میزان ضریب شکست نمونه بیودیزل
۸۳	شكل ۴-۷- تغییرات درصد وزنی تقویت کننده نسبت به فاز فعال نانوکاتالیست بر میزان ویسکوزیته نمونه بیودیزل

شكل ۴-۸- نمودار اثر درصد وزنی تقویت کننده نسبت به فاز فعال در سنتز نانوکاتالیست $Cs-Ca/TiO_2-SiO_2$ برای تولید بیودیزل از واکنش ترانس استریفیکاسیون.....	۸۳
شكل ۴-۹- تغییرات دمای کلسیناسیون نانوکاتالیست بر میزان ضربی شکست نمونه بیودیزل.....	۸۴
شكل ۴-۱۰- تغییرات دمای کلسیناسیون نانوکاتالیست بر میزان ویسکوزیته نمونه بیودیزل.....	۸۵
شكل ۴-۱۱- نمودار اثر دمای کلسیناسیون در سنتز نانوکاتالیست $Cs-Ca/TiO_2-SiO_2$ برای تولید بیودیزل از واکنش ترانس استریفیکاسیون	۸۵
شكل ۴-۱۲- تغییرات زمان کلسیناسیون نانوکاتالیست بر میزان ضربی شکست نمونه بیودیزل.....	۸۶
شكل ۴-۱۳- تغییرات زمان کلسیناسیون نانوکاتالیست بر میزان ویسکوزیته نمونه بیودیزل.....	۸۷
شكل ۴-۱۴- نمودار اثر زمان کلسیناسیون در سنتز نانوکاتالیست $Cs-Ca/TiO_2-SiO_2$ برای تولید بیودیزل از واکنش ترانس استریفیکاسیون	۸۷
شكل ۴-۱۵- تغییرات دمای واکنش ترانس استریفیکاسیون بر میزان ضربی شکست نمونه بیودیزل.....	۸۸
شكل ۴-۱۶- تغییرات دمای واکنش ترانس استریفیکاسیون بر میزان ویسکوزیته نمونه بیودیزل.....	۸۹
شكل ۴-۱۷- نمودار اثر دمای واکنش ترانس استریفیکاسیون برای تولید بیودیزل.....	۸۹
شكل ۴-۱۸- تغییرات زمان واکنش ترانس استریفیکاسیون بر میزان ضربی شکست نمونه بیودیزل.....	۹۰
شكل ۴-۱۹- تغییرات زمان واکنش ترانس استریفیکاسیون بر میزان ویسکوزیته نمونه بیودیزل.....	۹۱
شكل ۴-۲۰- نمودار اثر زمان واکنش ترانس استریفیکاسیون برای تولید بیودیزل.....	۹۱
شكل ۴-۲۱- تغییرات نسبت متابول به روغن در فرآیند ترانس استریفیکاسیون بر میزان ضربی شکست نمونه بیودیزل.....	۹۲
شكل ۴-۲۲- تغییرات نسبت متابول به روغن در فرآیند ترانس استریفیکاسیون بر میزان ویسکوزیته نمونه بیودیزل.....	۹۳
شكل ۴-۲۳- نمودار اثر نسبت مولی متابول به روغن در واکنش ترانس استریفیکاسیون برای تولید بیودیزل.....	۹۳
شكل ۴-۲۴- تغییرات نسبت وزنی کاتالیست به روغن در فرآیند ترانس استریفیکاسیون بر میزان ضربی شکست نمونه بیودیزل.....	۹۴
شكل ۴-۲۵- تغییرات نسبت وزنی کاتالیست به روغن در فرآیند ترانس استریفیکاسیون بر میزان ویسکوزیته نمونه بیودیزل.....	۹۵
شكل ۴-۲۶- طیف FT-IR پیش ساز نانوکاتالیست $Cs-CaO/SiO_2-TiO_2$	۹۶
شكل ۴-۲۷- طیف FT-IR نانوکاتالیست $Cs-CaO/SiO_2-TiO_2$ بهینه شده	۹۶
شكل ۴-۲۸- مقایسه طیف FT-IR نانوکاتالیست های $Cs-CaO/SiO_2-TiO_2$ سنتز شده در دماهای کلسیناسیون متفاوت.....	۹۶

- شکل ۴-۲۹- مقایسه طیف FT-IR نانوکاتالیست های $\text{Cs-CaO/SiO}_2\text{-TiO}_2$ سنتز شده در زمان های ۹۷ کلسیناسیون متفاوت.....
- شکل ۴-۳۰- طیف XRD پیش ساز $\text{CaO/SiO}_2\text{-TiO}_2$ تقویت شده با سزیم.....
- شکل ۴-۳۱- طیف XRD نانوکاتالیست بهینه $\text{CaO/SiO}_2\text{-TiO}_2$ تقویت شده با سزیم.....
- شکل ۴-۳۲- تصاویر میکروسکوپ الکترونی SEM کاتالیست های کلسینه شده در دماهای مختلف(a): نمونه پیش ساز، (b): نانوکاتالیست در دمای 550°C ، (c): نانوکاتالیست در دمای 600°C (d): نانوکاتالیست در دمای 650°C در دمای 100°C
- شکل ۴-۳۳- مقایسه بین اندازه مساحت ویژه به روش BET برای متغیر دمای کلسیناسیون.....
- شکل ۴-۳۴- مقایسه بین اندازه مساحت ویژه به روش BJH برای متغیر دمای کلسیناسیون.....
- شکل ۴-۳۵- مقایسه بین اندازه حجم حفره ها به روش BJH برای متغیر دمای کلسیناسیون.....
- شکل ۴-۳۶- مقایسه بین اندازه قطر حفره ها به روش BJH برای متغیر دمای کلسیناسیون.....

فهرست جداول

صفحه	عنوان
۷	جدول ۱-۱- ساختار شیمیایی اسیدهای چرب معمول.....
۸	جدول ۱-۲- خواص شیمیایی روغن های گیاهی و درصد ترکیب اسید چرب معمول در منابع روغنی رایج.....
۲۹	جدول ۲-۱- طبقه بندی نانومواد بر اساس پارامترهای مختلف.....
۳۶	جدول ۲-۲- دسته بندی جزئی روش های آنالیز و شناسایی مواد.....
۳۷	جدول ۲-۳- روش های معمول برای شناسایی نانوساختارها.....
۵۵	جدول ۳-۱- مواد مورد استفاده.....
۵۶	جدول ۳-۲- تجهیزات مورد استفاده.....
۵۶	جدول ۳-۳- مشخصات روغن خریداری شده از شرکت پرديس.....
۵۷	جدول ۳-۴- مشخصات ستون دستگاه کروماتوگراف گازی
۶۲	جدول ۳-۵- نتایج اندیس صابونی.....
۶۵	جدول ۳-۶- توزین.....
۶۵	جدول ۳-۷- نتایج اندیس اسیدیته روغن تصفیه شده.....
۷۰	جدول ۴-۱- مشخصات بیو دیزل بر اساس استاندارد ASTM D 6751-02
۷۵	جدول ۴-۲- خواص فیزیکی بیو دیزل و دیزل نفتی
۷۶	جدول ۴-۳- برخی خواص سوخت های مختلف
۸۰	جدول ۴-۴- نتایج اثر نسبت وزنی کاتالیست به ساپورت در سنتز نانوکاتالیست $\text{Ca/TiO}_2\text{-SiO}_2$ برای تولید بیو دیزل از واکنش ترانس استریفیکاسیون.....
۸۲	جدول ۴-۵- نتایج اثر درصد وزنی تقویت کننده نسبت به فاز فعال در سنتز نانوکاتالیست $\text{Cs-Ca/TiO}_2\text{-SiO}_2$ برای تولید بیو دیزل از واکنش ترانس استریفیکاسیون.....
۸۴	جدول ۴-۶- نتایج اثر دمای کلسیناسیون در سنتز نانوکاتالیست $\text{Cs-Ca/TiO}_2\text{-SiO}_2$ برای تولید بیو دیزل از واکنش ترانس استریفیکاسیون.....
۸۶	جدول ۴-۷- نتایج اثر زمان کلسیناسیون در سنتز نانوکاتالیست $\text{Cs-Ca/TiO}_2\text{-SiO}_2$ برای تولید بیو دیزل از واکنش ترانس استریفیکاسیون.....
۸۸	جدول ۴-۸- نتایج اثر دمای واکنش ترانس استریفیکاسیون برای تولید بیو دیزل
۹۰	جدول ۴-۹- نتایج اثر زمان واکنش ترانس استریفیکاسیون برای تولید بیو دیزل.....
۹۲	جدول ۴-۱۰- نتایج اثر نسبت مولی متناول به روغن در واکنش ترانس استریفیکاسیون برای تولید بیو دیزل.....

جدول ۱۱-۴- نتایج اثر نسبت وزنی کاتالیست به روغن در واکنش ترانس استریفیکاسیون برای تولید بیودیزل
۹۴

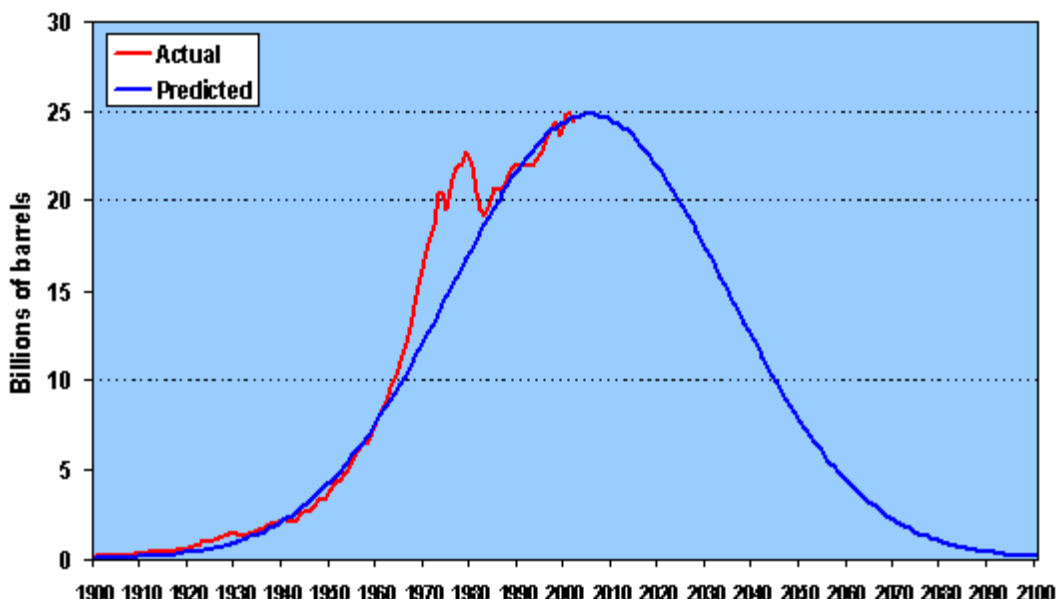
جدول ۱۲-۴- نتایج آزمون BJH کاتالیست‌های سنتز شده برای متغیر دمای کلسیناسیون ۱۰۴

فصل اول

مقدمه‌ای بر بیو دیزل

۱-۱- تعریف بیودیزل و واکنش ترانس استریفیکاسیون

امروزه بحران کاهش منابع انرژی و افزایش قیمت آن از یک سو و انحصاری بودن منابع انرژی فسیلی از سوی دیگر جوامع بشری را وادار به ارائه منابع جدید و تجدیدپذیر انرژی کرده است. بیودیزل (متیل یا اتیل استر اسید چرب) یک سوخت پاک و جایگزین سوخت دیزل می‌باشد که از منابع طبیعی و تجدید پذیر مانند روغن‌های گیاهی و حیوانی ساخته می‌شود. اصلی‌ترین تقاضای انرژی، متشکل از منابع معمول انرژی نظیر زغال سنگ، نفت و گاز طبیعی می‌باشد. این منابع در حال اتمام می‌باشند. تخمین زده شده که عمر این منابع تا سال ۲۰۵۰ باشد (شکل ۱-۱) [۲۱].



شکل ۱-۱: تخمین به پایان رسیدن سوخت‌های فسیلی جهان وزارت اطلاعات و انرژی آمریکا

بیودیزل علاوه بر داشتن منع زیستی دارای مزایای دیگری همچون کاهش تولید گازهای گلخانه‌ای، کاهش آلودگی هوا و کاهش خطرات ناشی از آن را بدنبال دارد [۳]. همچنین این سوخت که دارای خواصی شبیه و به مراتب بهتر از دیزل فسیلی است می‌تواند مستقیماً و بدون ایجاد تغییرات در موتورهای دیزل استفاده شود. همچنین استفاده از منابع دیگر انرژی مثلاً بیوگاز بدليل محتوای پایین انرژی و مشکلات ذخیره سازی و بیواتانول بدليل محتوای پایین انرژی و عدد ستان کم و عدم استفاده به صورت مستقیم در

موتورهای سوختی موجود توصیه نمی شود [۴]. عبارت "Bio" نماد تجدیدپذیری و منشأ زیستی آن و عبارت "Diesel" نماد شباهت آن به سوخت دیزل و کاربرد آن در موتورهای دیزل است. مтанول به دلیل ارزانی و فراوانی معمولاً بیشتر مورد استفاده است؛ لذا عبارت «متیل استرهای اسید چرب» یا "FAME" برای بیودیزل مصطلح می باشد [۵]. برای تهیه بیودیزل از واکنش های شیمیایی متفاوتی استفاده می شود که ساده ترین و در عین حال به صرفه ترین واکنش توسط فرآیند ترانس استریفیکاسیون انجام می گردد [۶ و ۷]. واکنش مورد نظر بین روغن های گیاهی و الكل (معمولًاً مтанول) در حضور یک کاتالیست اسیدی یا بازی انجام می شود که تولید بیودیزل می کند. در عین حال گلیسیرین نیز به عنوان یک محصول فرعی این فرآیند تولید می شود که در داروسازی و تولید لوازم آرایشی مورد استفاده قرار می گیرد. در این میان کاتالیست های هتروژن در مقایسه با کاتالیست های هموژن منجر به کاهش آلودگی محیط زیست و هزینه کمتری در تولید بیودیزل می شوند [۸ و ۹].

۱-۲- تاریخچه بیودیزل

از سال های ۱۹۰۰ سوخت بیودیزل توسط رالف دیزل مخترع موتور دیزل مطرح گردید. او استفاده از روغن های گیاهی را به عنوان سوخت در موتور دیزل مورد آزمایش قرار داد اما به دلیل حضور فراوان و ارزان منابع فسیلی به صورت جدی مورد بررسی قرار نگرفت. اما امروزه به دلیل افزایش قیمت نفت و کاهش منابع فسیلی و همچنین خطرات ناشی از آلودگی محیط زیست استفاده از سوخت های زیستی مورد اهمیت قرار گرفته است [۱۰ و ۱۱]. استفاده از سوخت های جایگزین در کشوری چون آمریکا قدمتی بیش از ۲۸ سال دارد. سوخت بیودیزل به خاطر این که پایه گیاهی و حیوانی دارد مورد توجه بسیاری از کشورها قرار گرفته است. هم اکنون آلمان به تصویب قوانینی در استفاده از ۵ درصد بیودیزل در سوخت دیزل مصرفی اقدام کرده و بسیاری دیگر کشورها هم تحقیقات خود را در این زمینه انجام می دهند [۱۰ و ۱۱]. استفاده مستقیم از روغن های گیاهی در موتور دیزل به علت ویسکوزیته زیاد موجب مشکلاتی از قبیل ایجاد رسوب در سیستم تزریق، شکستن رینگ های پیستون و ... می گردد. برای رفع این مشکلات، روغن های گیاهی نیاز به کمی اصلاح شیمیایی دارند. بیودیزل هم اکنون در آین نامه تکنیکی اتحادیه اروپا، تحت استاندارد EN14214 در ایالات متحده آمریکا در ASTM 6751-02 تعریف می شود [۱۲]. این مقررات، منتج از مذاکره و گفتگوی بسیار با سازندگان موتورهای دیزلی و تولید کنندگان بیودیزل می باشند. مقررات نهایی نه تنها به کیفیت بیودیزل و تکنولوژی استفاده از آن در موتورهای قدیمی و جدید می پردازد بلکه به مدت زمان ذخیره